

九州大学工学部 正員 上田 年比古

○正員 神野 健一

1. まえがき

本報は流れのレイノルズ数と抵抗係数との関係が Darcy の法則から導かれていた非 Darcy 流れの機構を知るために、浸透領域を二次元円柱が規則正しく配置されているものと仮定し、Navier-Stokes の方程式を直接数値計算したものである。従来より浸透層内の流れのパターンの中には、D.E.Wright 等⁽¹⁾の実験によりのように砂粒の曲率の影響を受けて定常的な渦領域が発生する定常慣性領域があると言わわれている。本報ではこの定常慣性領域の流れの機構を解明しようとした。

2. 領域の分割と基礎式の差分化

流れの領域は図-1 に示すように、円柱が規則正しく配置されていてその一部を単位の系としてとり出した。その中の円柱に対して円柱座標を与える。このような座標の与えてあれば、円柱表面での変化の大きい渦度に対して一様に近似計算ができる。精度も全体を直交座標で粗くして円柱表面を近似するよりも良い。その中の円柱に境界条件を与えるには、図-2 に示すように領域を二分し、円柱(1)については円柱(2)の 1 ステップ前の値を境界値とし、円柱(2)については、円柱(1)で計算したばかりの値を境界値とし以下計算を繰り返す。例えば、図-2 中の円柱(1)座標上の A 点、あるいは円柱(2)座標上の B 点は、円柱(2)座標の境界値、円柱(1)座標の境界値を用いて算術平均して中をその値とする。つぎに、Navier-Stokes の方程式の円柱座標表示は、

$$\frac{\partial p}{\partial r} = \frac{1}{Re} \left(\nabla^2 u - \frac{2}{r^2} \frac{\partial v}{\partial \theta} - \frac{u}{r^2} \right) - \left(u \frac{\partial u}{\partial r} + \frac{v}{r} \frac{\partial u}{\partial \theta} - \frac{v^2}{r} \right) \quad (1)$$

$$\frac{1}{r} \frac{\partial p}{\partial \theta} = \frac{1}{Re} \left(\nabla^2 v - \frac{2}{r^2} \frac{\partial u}{\partial \theta} - \frac{v}{r^2} \right) - \left(u \frac{\partial v}{\partial r} + \frac{v}{r} \frac{\partial v}{\partial \theta} + \frac{uv}{r} \right) \quad (2)$$

≈ 1 , $Re = \delta f / \nu$, δ : 砂粒径, f : 3 速, ν : 動粘性係数, $\nabla^2 = \frac{\partial^2}{\partial r^2} + \frac{1}{r^2} \frac{\partial^2}{\partial \theta^2} + \frac{1}{r^2} \frac{\partial^2}{\partial \phi^2}$

(1) 式、(2) 式を流れ関数中、渦度で渦方程式に書きなおすと、

$$Re \nabla^2 \zeta = \frac{1}{r} \frac{\partial \psi}{\partial r} - \frac{1}{r} \frac{\partial \psi}{\partial \theta} \quad (3), \quad \zeta = \nabla^2 \psi \quad (4)$$

いま、半径方向の格子間隔を Δr 、θ 方向の格子間隔を $\Delta \theta$ とし、(3)、(4) 式を差分化すれば、

$$\zeta^{(j+1)} = - \frac{Re \Delta r}{8r \Delta \theta (1 + \frac{Re}{r} / \Delta \theta^2)} \left\{ (\psi_3^{(j)} - \psi_1^{(j)}) (\zeta_2^{(j)} - \zeta_4^{(j)}) - (\psi_2^{(j)} - \psi_4^{(j)}) (\zeta_3^{(j)} - \zeta_1^{(j)}) \right\} + \frac{1}{2(1 + \frac{Re}{r} / \Delta \theta^2)} \left\{ \frac{Re^2}{r^2} \zeta_1^{(j+1)} + \left(1 + \frac{Re}{2r} \right) \zeta_2^{(j+1)} + \frac{Re^2}{r^2} \zeta_3^{(j+1)} + \left(1 - \frac{Re}{2r} \right) \zeta_4^{(j+1)} \right\} \quad (5)$$

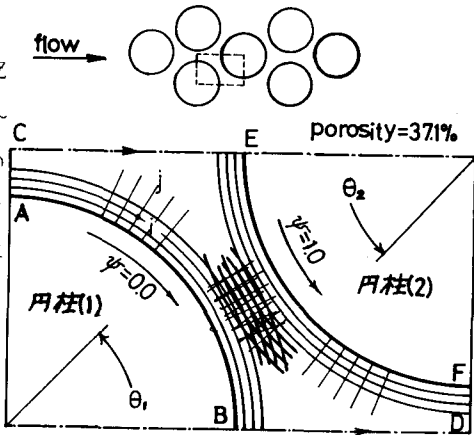
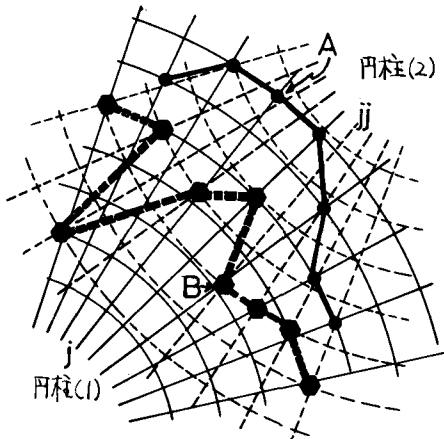


図-1



重ね合わせ

図-2

$$\zeta_0 = \zeta_0^{(1)} + \beta (\zeta_0^{(2)} - \zeta_0^{(1)}) \quad \text{--- (6)}$$

$$\zeta_0^{(2)} = \frac{1}{2(1+\frac{R^2}{r^2}\frac{\partial^2 \Psi}{\partial r^2})} \left\{ \frac{R^2}{r^2} \zeta_1^{(1)} + \left(1 + \frac{R}{2r}\right) \zeta_2^{(1)} + \frac{R^2}{r^2} \zeta_3^{(1)} + \left(1 - \frac{R}{2r}\right) \zeta_4^{(1)} - \frac{R^2}{r^2} \zeta_0^{(1)} \right\} \quad \text{--- (7)}$$

$$\zeta_0^{(2)} = \zeta_0^{(1)} + \lambda (\zeta_0^{(2)} - \zeta_0^{(1)}) \quad \text{--- (8)} \quad \text{本計算では } R = 0.04 \times \delta, \theta = \pi/80 \text{ radian とす。}$$

λ, β は緩和係数で $\lambda = 1.0, \beta = 0.5$ とすが、最適な緩和係数であるかどうかについては参考文献⁽³⁾を参照。また添字 n は計算のステップ数を表わす。つぎに円柱表面での ζ の境界値は、図-3 に示すように円柱表面の流れ関数を ζ_{sur} として以下の近似計算がでさる。

$$\zeta = \nabla^2 \Psi = \frac{\partial^2 \Psi}{\partial r^2} + \frac{1}{r} \frac{\partial \Psi}{\partial r} + \frac{1}{r^2} \frac{\partial^2 \Psi}{\partial \theta^2} \quad \text{--- (9)} \quad \text{円柱表面では付着の条件から}$$

$$U = \frac{1}{r} \frac{\partial \Psi}{\partial \theta} = 0, V = -\frac{\partial \Psi}{\partial r} = 0, \Psi_B = \text{constant}. \quad 1. \text{ 从って (9) 式から、円柱表面での}$$

$$\zeta \text{ の値 } \zeta_{\text{sur}} \text{ は } \zeta_{\text{sur}} = \left[\frac{\partial^2 \Psi}{\partial r^2} \right]_{\text{sur}} \quad \text{--- (10)}$$

また、(9) 式と (10) 式について微分すれば、円柱表面で

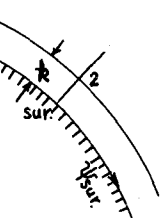
$$\frac{\partial \zeta}{\partial r} = \left[\frac{\partial^3 \Psi}{\partial r^3} \right]_{\text{sur}} + \left(\frac{1}{r} \frac{\partial^2 \Psi}{\partial r^2} \right)_{\text{sur}} \approx \frac{\zeta_2 - \zeta_{\text{sur}}}{R} \quad \text{--- (11)}$$

と、3 で Ψ を円柱表面の近傍で Taylor 展開すれば、 $\Psi_2 = \Psi_B + \frac{1}{2} R^2 \left[\frac{\partial^2 \Psi}{\partial r^2} \right]_{\text{sur}} + \frac{1}{6} R^3 \left[\frac{\partial^3 \Psi}{\partial r^3} \right]_{\text{sur}} + \dots$

この式と (10), (11) 式から ζ_{sur} を求めると

$$\zeta_{\text{sur}} = \frac{6.0 R^2 (\Psi_2 - \Psi_B) - \zeta_2}{2.0 - R / R_{\text{sur}}} \quad \text{--- (12)}$$

図-3



3. 圧力分布、抵抗係数の計算

(1) 式と (2) 式を Ψ, ζ で表わすと

$$\frac{\partial \Psi}{\partial r} = \frac{1}{Re} \frac{1}{r} \frac{\partial \zeta}{\partial \theta} + \zeta \frac{\partial \Psi}{\partial r} - \frac{\partial \Psi}{\partial r} \frac{\partial \zeta}{\partial r} + \frac{1}{r} \frac{\partial \Psi}{\partial \theta} \left(\frac{1}{r^2} \frac{\partial \zeta}{\partial \theta} - \frac{1}{r} \frac{\partial^2 \zeta}{\partial r \partial \theta} \right) \quad \text{--- (13)}$$

$$\frac{1}{r} \frac{\partial \zeta}{\partial \theta} = - \frac{1}{Re} \frac{\partial \zeta}{\partial r} + \frac{3}{r} \frac{\partial \Psi}{\partial \theta} - \frac{1}{r^3} \frac{\partial \Psi}{\partial \theta} \frac{\partial^2 \zeta}{\partial r^2} - \frac{1}{r} \frac{\partial \Psi}{\partial r} \frac{\partial^2 \zeta}{\partial r \partial \theta} \quad \text{--- (14)}$$

(13) 式については図-1 中 B 点から D 点まで積分、(14) 式については B 点から A 点まで積分すると、

$$\frac{1}{r} \frac{\partial \zeta}{\partial \theta} = \frac{1}{Re} \int_B^D \frac{1}{r} \frac{\partial \zeta}{\partial \theta} dr - \frac{1}{2} U_D^2 \quad \text{--- (15)} \quad \left[\theta = 0 \text{ の軸上では } V = -\frac{\partial \Psi}{\partial r} = 0 \right]$$

$$\frac{1}{r} \frac{\partial \zeta}{\partial \theta} = - \frac{1}{Re} \int_B^A \frac{\partial \zeta}{\partial r} d\theta \quad \text{--- (16)} \quad \left[\text{円柱上では } \Psi_B = \text{constant.} \right]$$

(15), (16) 式から $\frac{1}{r} \frac{\partial \zeta}{\partial \theta}$ を消去すれば、

$$\frac{1}{r} \frac{\partial \zeta}{\partial \theta} = - \frac{1}{Re} \int_B^D \frac{1}{r} \frac{\partial \zeta}{\partial \theta} dr + \frac{1}{2} U_D^2 - \frac{U_{\text{sur}}}{Re} \int_B^A \frac{\partial \zeta}{\partial r} d\theta \quad \text{--- (17)} \quad \text{この式は、A 点から D 点までの圧力降下 } \Delta P \text{ を表わす} \quad \text{--- (17)}$$

下 ΔP を表わす。D 点の圧力を境界条件として与えれば、A 点の圧力は計算できる。円柱 1 ケの場合には、D 点が無限遠處となる。つぎに、この ΔP をもとにして、抵抗係数の計算を行なうが、浸透層内の抵抗係数 C_D を次のように定義する。

$$C_D = \rho g i \delta / \rho q^2 \quad i: 水頭勾配, q: 重力の加速度, \rho: 密度$$

円柱 (1) と円柱 (2) とでは C_D の値は違うが、単位領域の C_D とて両者の平均値をとる。

4. 計算結果および実験結果

計算は逐次 sweep 方向を変えて、各点の精度の相対誤差 ($= |(\zeta^{(n+1)} - \zeta^{(n)}) / \zeta^{(n)}|$) が $1/1000$ 以下になるまで繰り返した。流れ関数 Ψ と渦度 ζ とでは ζ の方が収束が速いので ζ の相対誤差の最大値の評価だけで十分

であると考えらる。図-4～図-7に代表的な流れのパターンを示す。レイノルズ数が10～20では円柱(1)の後方に渦領域発生の兆しがあらわし、その部分の渦度の値は等渦度線図からもわかるよう小さい。さらにレイノルズ数が20を越すと、渦領域が発生する。渦度の値もマイナスとなり、西東方向が変化したことを示す。さらにレイノルズ数が30程度では対称軸附近にも渦領域が発生し、最初に発生した渦領域も広くなってくる。渦領域の発生箇所は、円柱1ヶの場合と異なるのであり、他の円柱の影響が現われている。その様子は等渦度線図からよくわかる。レイノルズ数の増加とともに、等渦度線が下流へ流れていく度合が大きい。渦領域の等渦度線はマイナス符号である。円柱1ヶの場合には下流方向へ等渦度線が広がっていくが、この場合には大きな制約を受けている。レイノルズ数をさらに増し50を越すと計算は発散し、解がえらべない。著者等は直角座標(格子間隔 = 0.02×5)で

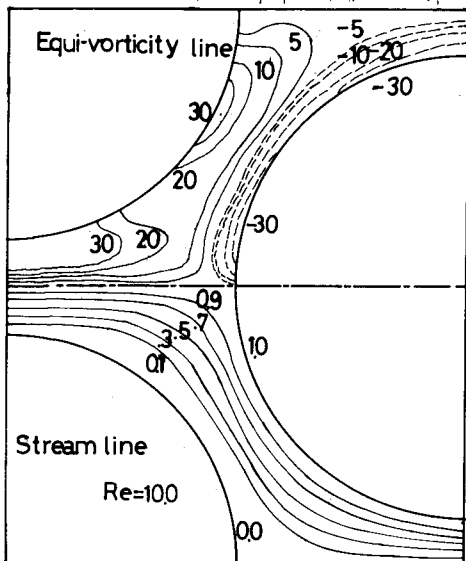


図-4

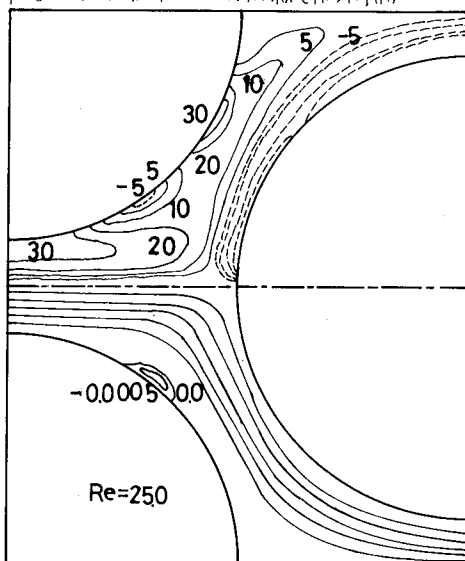


図-5

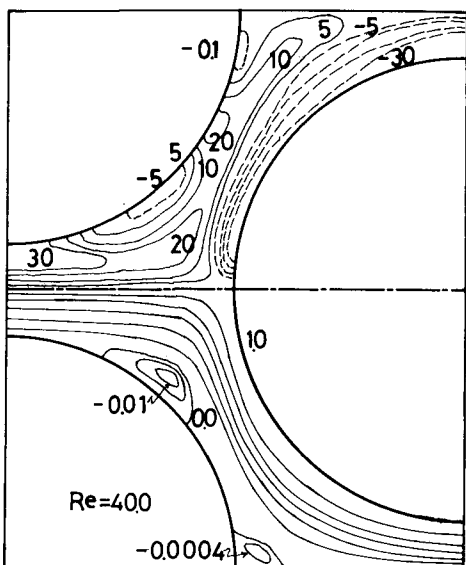


図-6

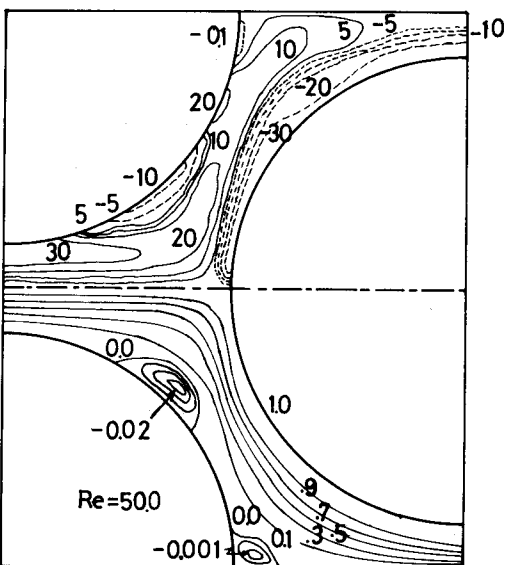
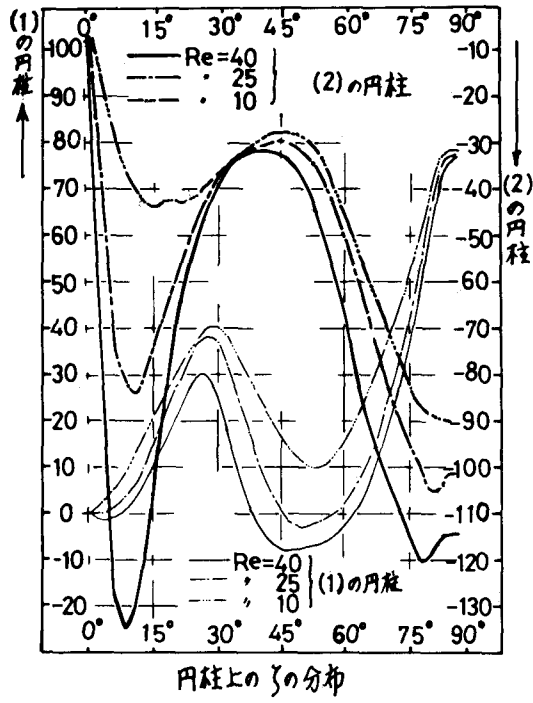


図-7

同様の計算を行なうが、解は2.5小す、1.5倍で50を越すところから流小は非定常になると考えらる、この流れの場においては臨界レイノルズ数が50より少し大きい値であると言えるだろう。



円柱面上の τ の分布

図-8

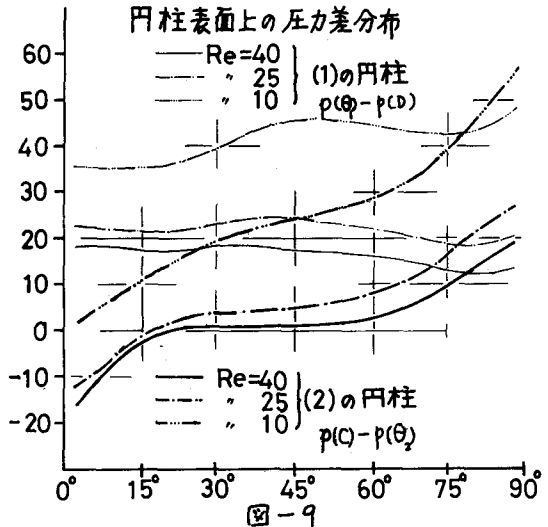


図-9

図-8には円柱表面上の τ の分布を示す。円柱表面上で極大、極小値が存在する。やはり円柱の相互干渉が現れていく。図-9には圧力差の分布を示しているが、円柱(2)の方が圧力差が大きく、レイノルズ数が小さいほどとの傾向が大きいのは、表面での摩擦損失が大きいことを表わす。(図-10には、抵抗係数とレイノルズ数との計算値および実験値を示す。実験は 1.5×25 cmの断面積とともに浸透長2mアクリル製水槽の中に直径1mm円柱をporosity 37.1%で配置して水頭差と流量を測定した。この際、円柱径に比べて、box断面積が小さいため、表面の影響が大きいと考えられるので図-1中αCFおよびBDと壁面と一緒に計算した値も示している。その結果、壁面(側壁)の影響がかなりあり、壁面のない場合の2倍の抵抗係数となる。したがって、上下面の壁の影響も考慮すると実験値に近い値がえらぶものと考えられる。以上、Navier-Stokesの方程式を数值計算して、浸透層内の非Darcy流小の機構がある程度理解できると思われる。

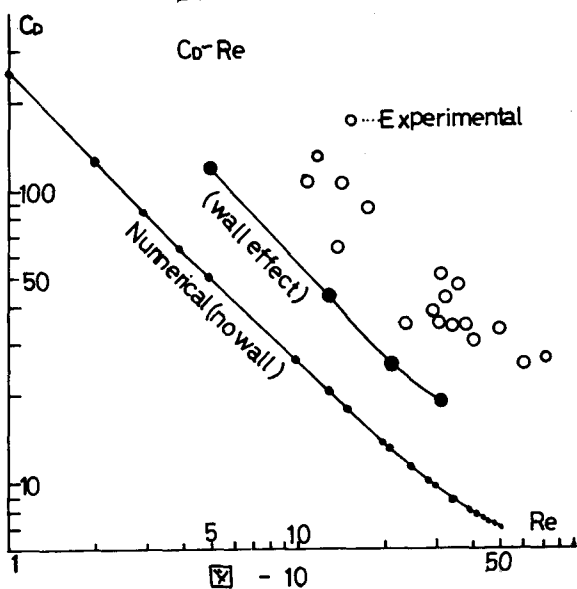


図-10

方程式を数值計算して、浸透層内の非Darcy流小の機構がある程度理解できると思われる。

参考文献：(1) D.E. Wright ; Nonlinear flow through Granular media, ASCE HY 4 1968年July

(2) 白倉吉明・大橋秀雄；流体力学(2) 土木工社 p56. 1969年

(3) Enzo O. Macagnano, Tim-Kan-Hung ; Computational Study of Accelerated flow in a Two-dimensional Conduit Expansion. Jour. of Hydraulic Research vol. 8 No. 1 1970